

**UC:** Placas e Cascas – 15253

**Ano Letivo:** 2025/2026 (1º Semestre)

## Trabalho 03 – Placas de Kirchhoff: Soluções Numéricas

Limite para entrega: 24 de novembro de 2025 às 23h59

Resolva as questões a seguir e escreva as suas soluções num relatório, com no máximo 15 páginas (excluindo-se os elementos pré e pós-textuais), contendo:

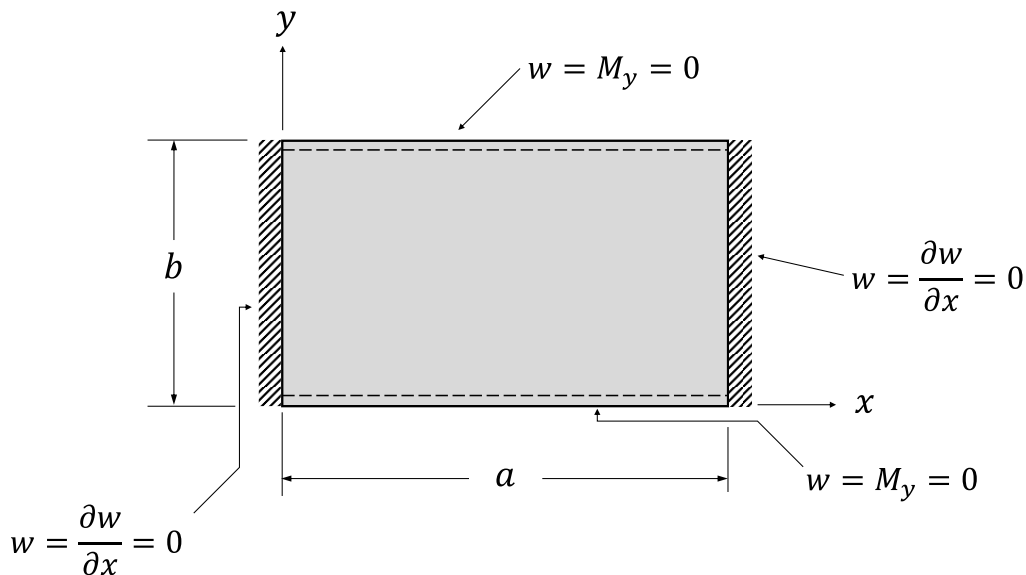
- descrição dos problemas;
- metodologia de solução;
- implementação do código;
- resultados e discussão; e
- conclusão.

Os códigos desenvolvidos devem ser adicionados ao apêndice.

O relatório deve ser escrito utilizando o guião disponível no Moodle, o qual se baseia nas normas de formatação gráfica de apresentações de dissertações de 2.º ciclo e de teses de 3.º ciclo - Despacho n.º 2019/R/63.

Para cada questão é fornecido um conjunto de dados de entrada e cada pessoa deve utilizar um conjunto de dados diferente. A seleção será feita no momento da entrega do enunciado.

- A figura a seguir mostra uma placa de lados  $a$  e  $b$ , e espessura  $t$ , feita dum material ortotrópico, (ver Apêndice I), e cuja massa específica é  $\rho$ . A placa está encastrada ao longo de suas bordas  $x = 0$  e  $x = a$ , e está simplesmente apoiada ao longo das bordas  $y = 0$  e  $y = b$ .



Sob a condição de vibração livre, a energia potencial total para a placa acima pode ser definida como:

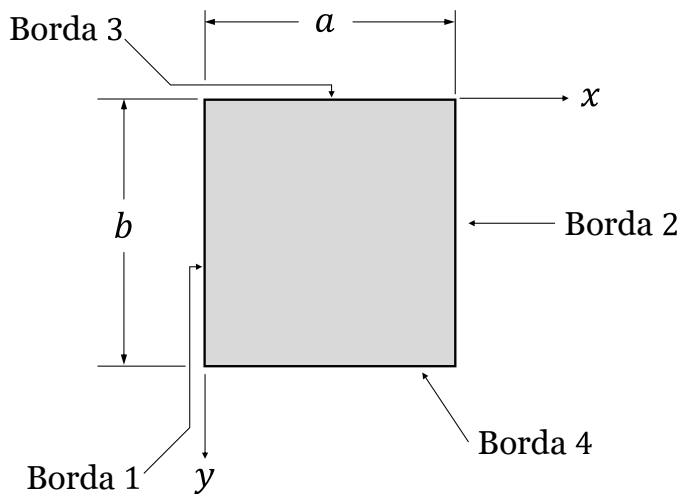
$$\Pi = \frac{1}{2} \iint [D_{11}(w_{,xx})^2 + 2D_{12}w_{,xx}w_{,yy} + D_{22}(w_{,yy})^2 + 4D_{66}(w_{,xy})^2] dx dy - \frac{1}{2}\omega^2\rho t \iint w^2 dx dy = 0.$$

Use o método de Ritz para determinar a frequência fundamental  $\omega$  de vibração livre da placa acima, e o seu correspondente modo de vibrar. Para tal, considere que a aproximação de Ritz para uma placa retangular pode ser escrita na forma:

$$w(x, y) \approx W_{mn}(x, y) = \sum_{i=1}^M \sum_{j=1}^N c_{ij} X_i(x) Y_j(y)$$

onde  $c_{ij}$  são os coeficientes de Ritz e as funções  $X_i(x)$  e  $Y_j(y)$  devem satisfazer apenas as condições de fronteiras geométricas do problema (ver Apêndice II).

2. A figura a seguir apresenta uma placa fina de lados  $a$  e  $b$ , e espessura  $t$ , feita dum material ortotrópico (ver [Apêndice II](#)) e sujeita a um carregamento  $p_0$  uniformemente distribuído ao longo de toda a sua superfície  $xy$ .



- a) Considerando os eixos principais do material alinhados aos eixos  $x$  e  $y$  na figura acima, derive uma expressão para a matriz de elasticidade  $[\tilde{D}]$ ;
- b) Utilizando o método dos elementos finitos, escreva um programa de computador para calcular: as deflexões  $w(x, y)$ , as reações nos apoios e as tensões  $\sigma_x$ ,  $\sigma_y$  e  $\tau_{xy}$  no intervalo  $x = [0, a]$  e  $y = [0, b]$ ;
- c) Comente os seguintes casos particulares: (i) os eixos principais do material não coincidem com os eixos  $x$  e  $y$  e (ii) o material é um compósito laminado simétrico, não-balanceado e de  $n$  camadas.

Notas:

- (i) Podem ser utilizados elementos do tipo triangular de 3 nós (9 GDL's) ou retangular de 4 nós (12 GDL's) para a discretização da placa;
- (ii) Refine a malha com o número de elementos que julgar necessário para atingir a convergência dos resultados justificando a discretização final.

Dados:

Caso	$a$ [mm]	$b$ [mm]	$t$ [mm]	$E_1$ [GPa]	$E_2$ [GPa]	$\nu_{12}$	$G_{12}$ [GPa]	$p_0$ [N/m²]	B1	B2	B3	B4
1	600	650	1	140	11	0.25	4	250	F	F	S	S
2	650	600	1	140	12	0.25	5	75	F	S	S	C
3	700	600	1	150	13	0.28	5	100	C	S	S	F
4	800	700	2	160	14	0.28	6	125	S	S	C	C
5	650	750	2	170	13	0.28	4	150	S	C	C	F
6	750	600	2	130	10	0.26	5	175	C	C	F	F
7	600	625	1	140	11	0.26	5	300	C	F	C	F
8	625	650	1	135	10	0.27	4	250	F	S	S	C
9	600	650	1	145	12	0.27	6	200	C	S	S	F
10	750	800	2	155	13	0.25	6	150	S	S	C	C
11	825	650	1	165	12	0.25	4	100	S	C	C	F
12	700	625	1	150	13	0.26	5	250	C	C	F	F

Nota:

F – Livre;

S – Apoio Simples;

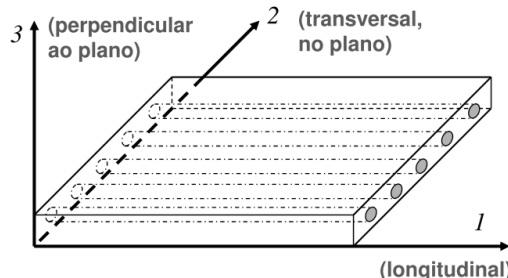
C – Encastre.

## Apêndice I

As equações constitutivas para uma lâmina fina de um material homogéneo, ortotrópico e linear elástico, pode ser escrita como

$$\begin{Bmatrix} \epsilon_x \\ \epsilon_y \\ \gamma_{xy} \end{Bmatrix} = \begin{bmatrix} \frac{1}{E_1} & -\frac{\nu_{21}}{E_2} & 0 \\ -\frac{\nu_{12}}{E_1} & \frac{1}{E_2} & 0 \\ 0 & 0 & \frac{1}{G_{12}} \end{bmatrix} \begin{Bmatrix} \sigma_x \\ \sigma_y \\ \tau_{xy} \end{Bmatrix} \quad (1)$$

onde  $E_1$ ,  $E_2$ ,  $\nu_{12}$  e  $G_{12}$  são as constantes elásticas definidas no eixo principal do material que coincide com os eixos principais do sistema  $xyz$  adotado para a placa, conforme mostrado na figura a seguir.



Ao inverter a relação apresentada na Equação (1), tem-se

$$\begin{Bmatrix} \sigma_x \\ \sigma_y \\ \tau_{xy} \end{Bmatrix} = \begin{bmatrix} Q_{11} & Q_{12} & 0 \\ Q_{12} & Q_{22} & 0 \\ 0 & 0 & Q_{66} \end{bmatrix} \begin{Bmatrix} \epsilon_x \\ \epsilon_y \\ \gamma_{xy} \end{Bmatrix}, \quad (2)$$

onde

$$Q_{11} = \frac{E_1}{1 - \nu_{12}\nu_{21}}, \quad (3a)$$

$$Q_{22} = \frac{E_2}{E_1} Q_{11}, \quad (3b)$$

$$Q_{12} = \nu_{21} Q_{11}, \quad (3c)$$

$$Q_{66} = G_{12}. \quad (3d)$$

## Apêndice II – Polinómios Algébricos

Numa placa com as bordas  $x = 0$  e  $x = a$  encastradas, as quatro condições de fronteira geométricas a serem satisfeitas indicam que o polinómio algébrico mais simples  $X_i(x)$  é:

$$X_i(x) = \left(\frac{x}{a}\right)^{i+1} - 2\left(\frac{x}{a}\right)^{i+2} + \left(\frac{x}{a}\right)^{i+3}.$$

Numa placa com as bordas  $y = 0$  e  $y = b$  simplesmente apoiadas, as duas condições de fronteira geométricas a serem satisfeitas indicam que o polinómio algébrico mais simples  $Y_j(y)$  é:

$$Y_j(y) = \left(\frac{y}{b}\right)^j - \left(\frac{y}{b}\right)^{j+1}.$$